

# 一、实验目的

1. 掌握利用 *MATLAB* 求连续时间函数的拉普拉斯变换和拉普拉斯反变换;
2. 掌握利用 *MATLAB* 求离散时间信号的 *z* 变换和反 *z* 变换;
3. 掌握利用 *MATLAB* 分析系统函数极零点分布与系统特性的关系;

# 二、实验原理

略, 见指导文档文档

# 三、实验设备 (环境)

操作系统 *Windows* 11/10/9/8/7

编程软件: 推荐 *Matlab*, 版本不低于 2016 版本。

# 四、实验内容

## 实验1: *s*域实验

1. (*LT*实验) 利用 *MATLAB* 求下列式子的 *LT* 变换, 说明收敛域

1)  $f_1(t) = e^{-2t}\varepsilon(t)$

结果:

$$F_1(s) = \frac{1}{s+2} \quad (\sigma > 0)$$

源代码:

```
clc;
syms x t
f=@(x) laplace(x);
Y_1 = exp(-2*t).*heaviside(t);
f(Y_1)
```

2)  $f_2(t) = \delta(t) + e^{2t}\varepsilon(t) - \frac{4}{3}e^{-t}\varepsilon(t)$

结果:

$$F_2(s) = \frac{1}{s-2} - \frac{4}{3s+3} + 1 \quad (\sigma > 2)$$

源代码:

```

clc;
syms x t
f=@(x) laplace(x);
Y_2 = dirac(t)+exp(2*t).*heaviside(t)-4/3*exp(-t).*heaviside(t);
f(Y_2)

```

## 2. (LT反变换实验) 利用 *MATLAB* 求下列式子的 *ILT* 变换

1)  $F_1(s) = \frac{4s+5}{s^2+5s+6}$

结果:

$$f_1(t) = (7 - 3e^t)e^{-3t}\varepsilon(t)$$

源代码:

```

clc;
syms x t
f=@(x) ilaplace(x);
Y_1= (4*t+5)/(t^2+5*t+6);
f(Y_1)

```

2)  $F_2(s) = \frac{3s}{(s+4)(s+2)}$

结果:

$$f_2(t) = 3(2 - e^{2t})e^{-4t}\varepsilon(t)$$

源代码:

```

clc;
syms x t
f=@(x) ilaplace(x);
Y_2= (3*t)/((t+4)*(t+2));
f(Y_2)

```

## 3. 利用 *MATLAB* 求 $f(s) = \frac{s^2+4s+5}{s^2+5s+6}$ 的部分分式展开式

结果:

```
>> r
r =
    -2.0000
     1.0000

>> p
p =
    -3.0000
    -2.0000

>> k
k =
     1
```

所以

$$F(s) = \frac{s^2 + 4s + 5}{s^2 + 5s + 6} = \frac{-2}{s+3} + \frac{1}{s+2} + 1$$

源代码：

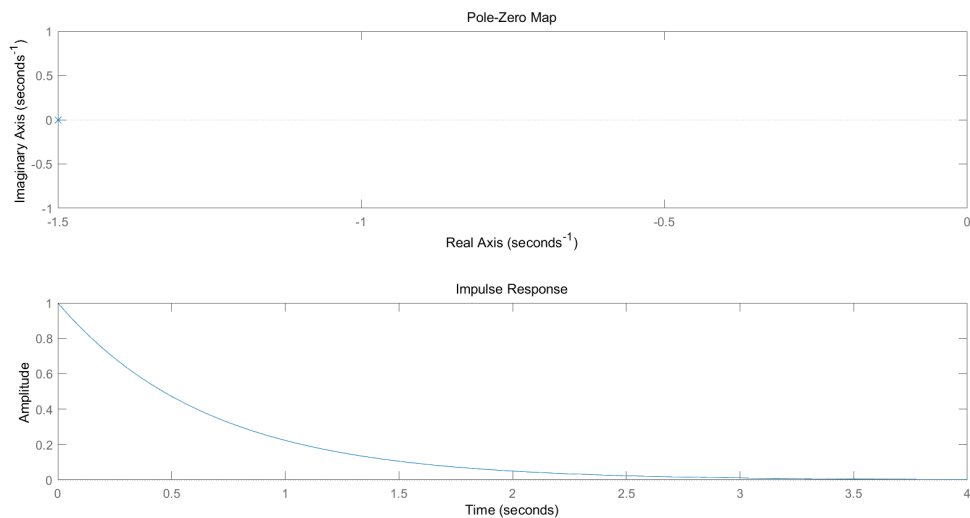
```
clc;
a=[1 4 5];
b=[1 5 6];
[r,p,k] = residue(a,b);
```

## 4. (极点对系统特性的影响)

某一阶系统的系统函数为 $H(S) = \frac{1}{s-p}$ , 分别绘制极点处于-1.5, -0.5, 0, 0.5, 1.5时的极零图及对应的冲激响应函数。观察现象，总结极点如何影响冲激响应函数，进而总结其对于系统稳定性的影响。

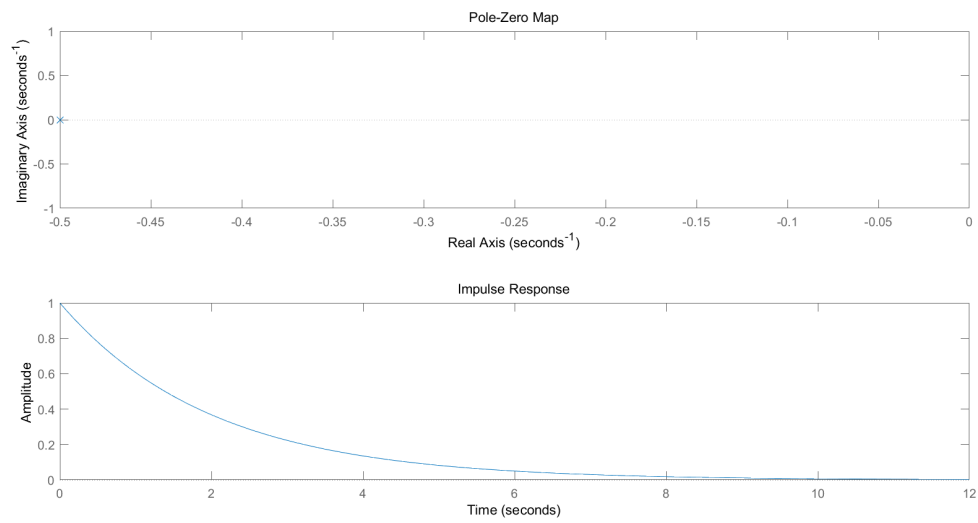
1)  $p = -1.5$

结果：



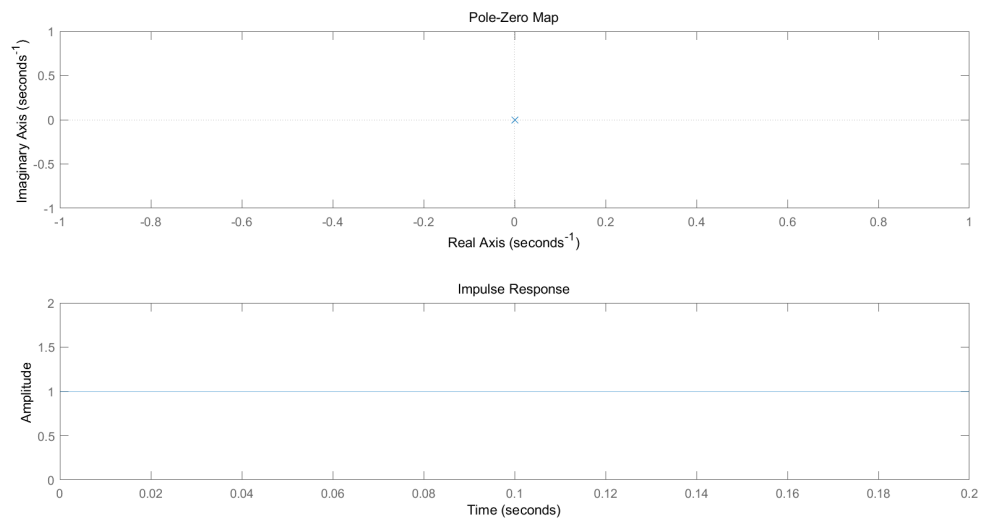
2)  $p = -0.5$

结果:



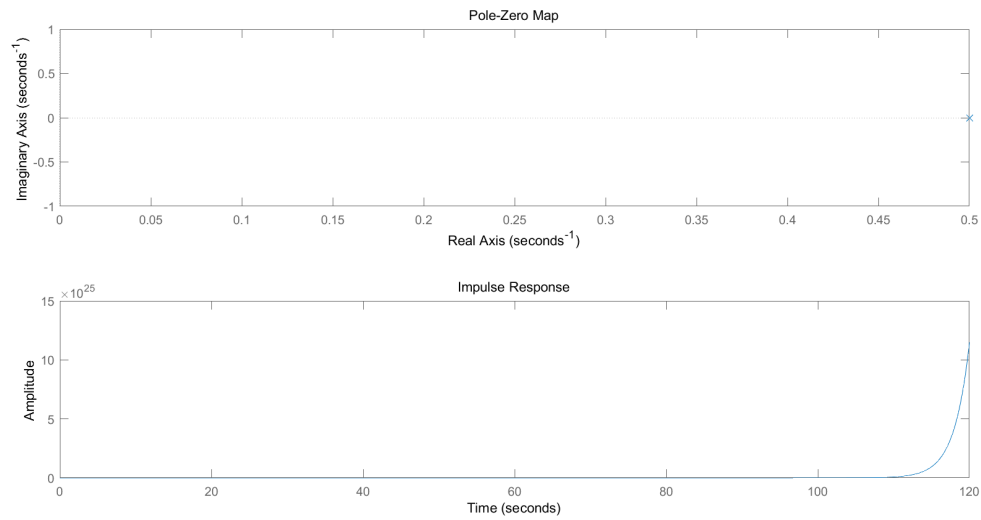
3)  $p = 0$

结果:



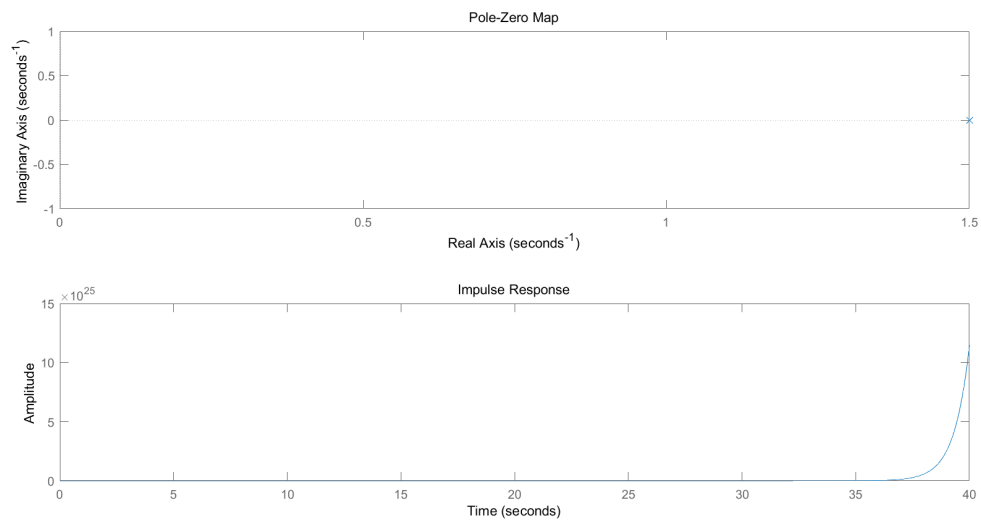
4)  $p = 0.5$

结果:



5)  $p = 1.5$

结果:



源代码:

```
s=tf('s');
p=[-1.5,-0.5,0,0.5,1.5];
f= s-p;
for i = 1:5
    figure(i)
    subplot(211),
    pzmap(1/f(i));
    subplot(212),
    impulse(1/f(i));
end
```

总结:

当极点  $p$  处于实轴的负半轴时，冲激响应函数是一个单调递减的指数函数，

当极点  $p$  在负半轴上移动时，冲激响应函数会变得更加平缓，即：越靠近原点，冲激响应函数的陡度就越小；

当极点  $p$  刚好在原点上时，冲激响应函数会变成一条平缓的水平线：

当极点  $p$  处于实轴的正半轴时，冲激响应函数是一个单调递增的指数函数，

当极点  $p$  在正半轴上移动时，冲激响应函数会变得更加陡峭，即：越靠近原点，冲激响应函数的陡度就越大。

总的来说，极点的位置会影响冲激响应函数的形状，而冲激响应函数的形状又会影响系统的稳定性。当极点在原点上时，系统是稳定的。当极点在负半轴时，系统是有限稳定的。当极点在正半轴时，系统是不稳定的。

## 实验2： $z$ 域实验

### 1. ( $ZT$ 实验) 利用 $MATLAB$ 求 $f(k) = 2^{k-1}\varepsilon(k)$ 的 $ZT$ 变换，说明收敛域

结果：

```
F =  
  
z/(2*(z - 2))  
  
fx >>
```

$$F(z) = \frac{z}{2(z-2)} \quad (|z| > 2)$$

源代码：

```
clc;  
syms k z;  
f = 2^(k-1) .* stepfun(k,0);  
F = ztrans(f,k,z);  
F
```

### 2. ( $ZT$ 反变换实验) 利用 $MATLAB$ 求 $F(z) = \frac{2z^2-0.5z}{z^2-0.5z-0.5}$ 的半边 $IZT$ 变换

结果：

```
f =  
  
(-1/2)^n + 1  
  
fx >> |
```

$$f(k) = (1 + (-0.5)^k)\varepsilon(k)$$

源代码：

```

clc;
syms z;
F = (2*z^2 - 0.5*z) / (z^2 - 0.5*z - 0.5);
f = iztrans(F);
f

```

### 3. 利用 *MATLAB* 求 $F(z) = \frac{z}{2z^2 - 3z + 1}$ 的部分分式展开式，并利用该结果计算单边 *IZT* 变换

结果：

```

r =

    1.0000
   -0.5000

>> p

p =

    1.0000
    0.5000

>> k

k =

    []

fx >>

```

```

f =

1 - (1/2)^n

fx >>

```

$$F(z) = \frac{z}{2z^2 - 3z + 1} = \frac{1}{z - 1} - \frac{1}{2z - 1}$$

$$f(k) = (1 - (0.5)^k)\varepsilon(k - 1)$$

源代码：

```

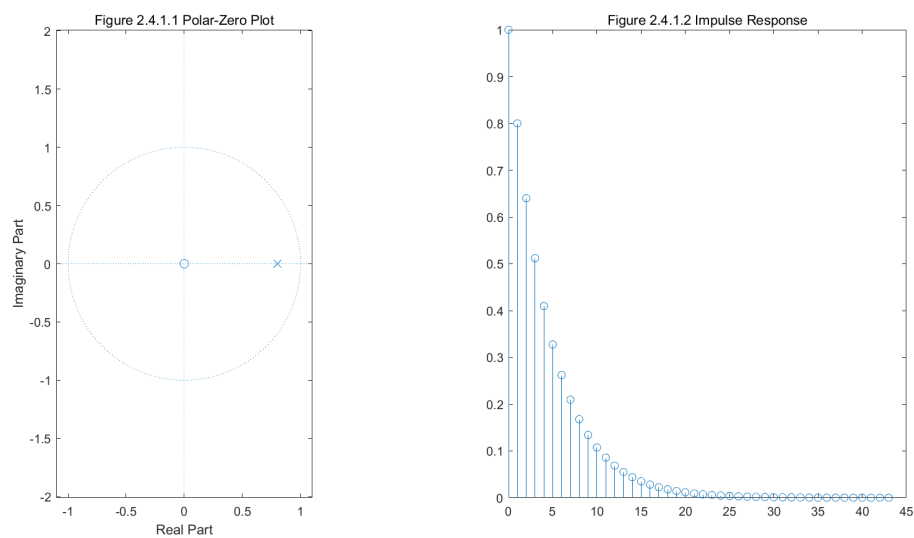
clc;
[r, p, k] = residuez([1],[2 -3 1]);
syms z;
F = z / (2*z^2 - 3*z + 1);
f = iztrans(F);
f

```

4. 利用 *MATLAB* 画出下列系统函数的极零图以及对应的时域单位函数响应的  $h(k)$  波形，并分析系统函数的极点对于时域波形的影响。

1)  $H_1(z) = \frac{z}{z-0.8}$

结果图：



源代码：

```

clc;

subplot(1,2,1);
zplane(1,[1 -0.8]) %极零图
title('Figure 2.4.1.1 Polar-Zero Plot');

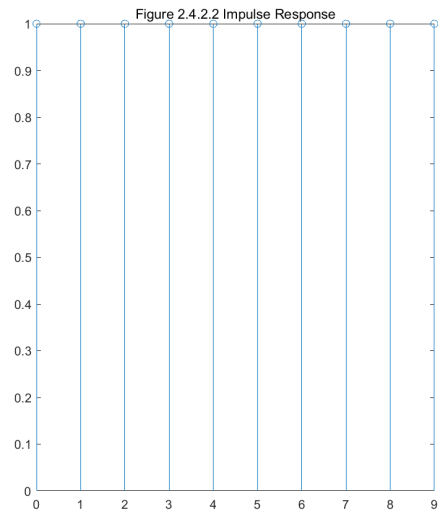
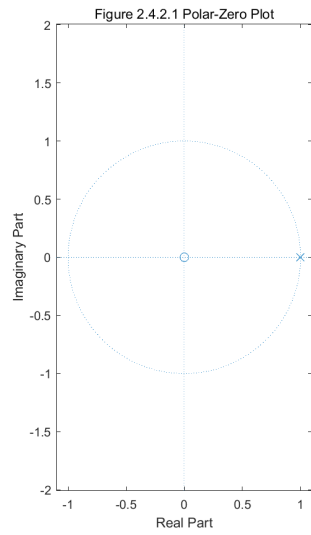
subplot(1,2,2);
[h,t] = impz(1,[1 -0.8]); %时域单位函数响应 h(k) 的波形
stem(t,h); %茎叶图
title('Figure 2.4.1.2 Impulse Response');

```

2)  $H_2(z) = \frac{z}{z-1}$

结果图：





源代码：

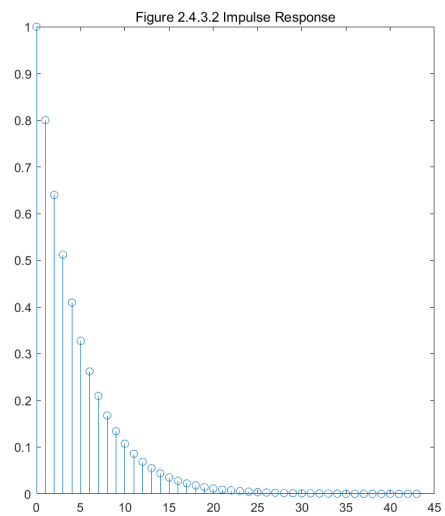
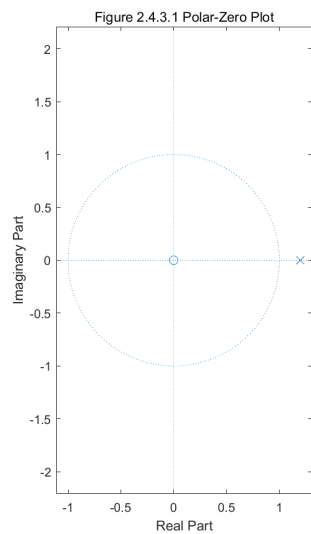
```
clc;

subplot(1,2,1);
zplane(1,[1 -1]) %极零图
title('Figure 2.4.2.1 Polar-Zero Plot');

subplot(1,2,2);
[h,t] = impz(1,[1 -1]);%时域单位函数响应 h(k) 的波形
stem(t,h); %茎叶图
title('Figure 2.4.2.2 Impulse Response');
```

$$3) H_3(z) = \frac{z}{z-1.2}$$

结果图：



源代码：

```

clc;

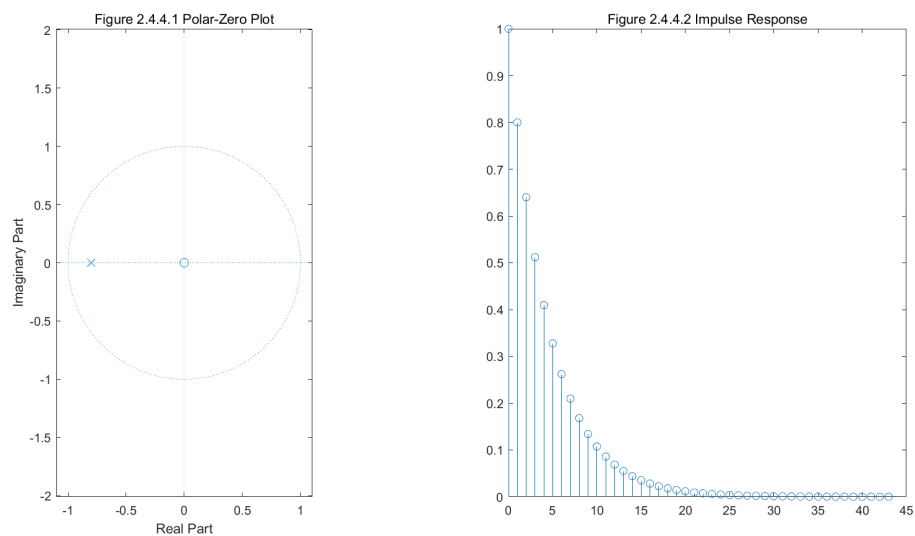
subplot(1,2,1);
zplane(1,[1 -1.2]) %极零图
title('Figure 2.4.3.1 Polar-Zero Plot');

subplot(1,2,2);
[h,t] = impz(1,[1 -0.8]);%时域单位函数响应 h(k) 的波形
stem(t,h); %茎叶图
title('Figure 2.4.3.2 Impulse Response');

```

$$4) H_4(z) = \frac{z}{z+0.8}$$

结果图：



源代码：

```

clc;

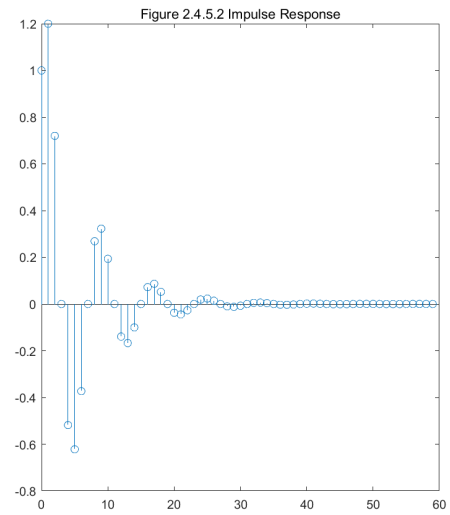
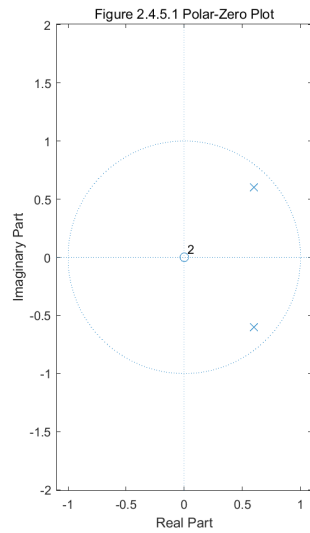
subplot(1,2,1);
zplane(1,[1 0.8]) %极零图
title('Figure 2.4.4.1 Polar-Zero Plot');

subplot(1,2,2);
[h,t] = impz(1,[1 -0.8]);%时域单位函数响应 h(k) 的波形
stem(t,h); %茎叶图
title('Figure 2.4.4.2 Impulse Response');

```

$$5) H_5(z) = \frac{z}{z^2-1.2z+0.72}$$

结果图：



源代码：

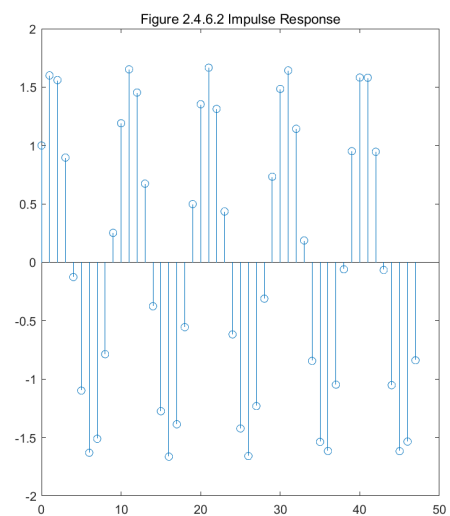
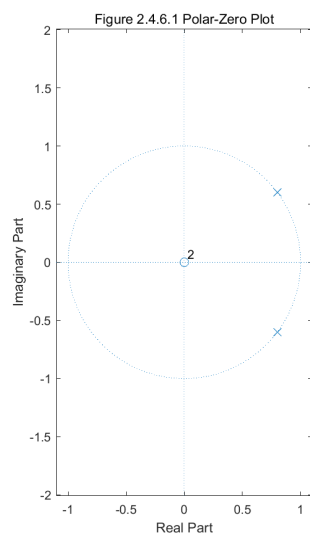
```
clc;

subplot(1,2,1);
zplane(1,[1 -1.2 0.72]) %极零图
title('Figure 2.4.5.1 Polar-Zero Plot');

subplot(1,2,2);
[h,t] = impz(1,[1 -1.2 0.72]);%时域单位函数响应 h(k) 的波形
stem(t,h); %茎叶图
title('Figure 2.4.5.2 Impulse Response');
```

$$6) H_6(z) = \frac{z}{z^2 - 1.6z + 1}$$

结果图：



源代码：

```

clc;

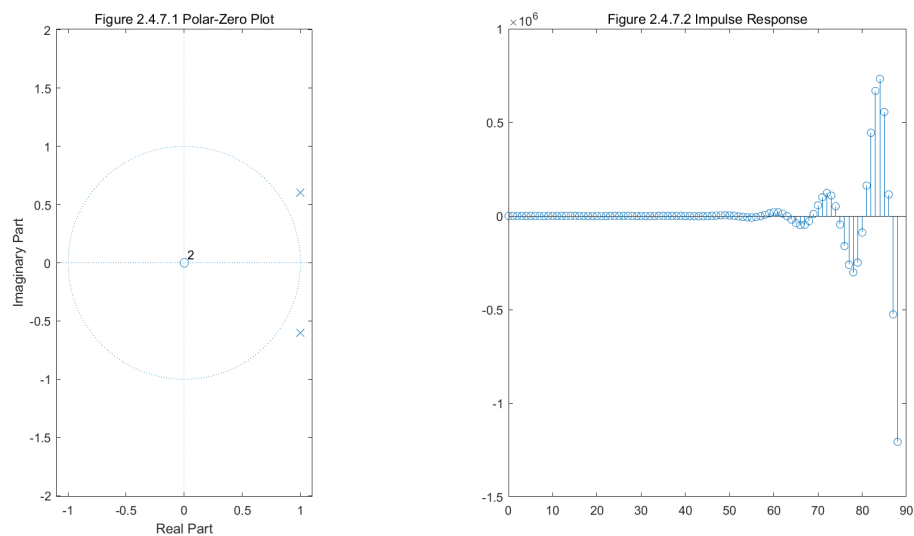
subplot(1,2,1);
zplane(1,[1 -1.6 1]) %极零图
title('Figure 2.4.6.1 Polar-Zero Plot');

subplot(1,2,2);
[h,t] = impz(1,[1 -1.6 1]);%时域单位函数响应 h(k) 的波形
stem(t,h); %茎叶图
title('Figure 2.4.6.2 Impulse Response');

```

$$7) H_7(z) = \frac{z}{z^2 - 2z + 1.36}$$

结果图：



源代码：

```

clc;

subplot(1,2,1);
zplane(1,[1 -2 1.36]) %极零图
title('Figure 2.4.7.1 Polar-Zero Plot');

subplot(1,2,2);
[h,t] = impz(1,[1 -2 1.36]);%时域单位函数响应 h(k) 的波形
stem(t,h); %茎叶图
title('Figure 2.4.7.2 Impulse Response');

```

极点对时域波形的影响：

若极点在圆内，则信号减幅振荡；若极点在圆外，则信号增幅震荡；若极点在圆上，则信号等幅振荡。

## 五、实验体会、感悟和总结

本次实验相较前几次内容较少，也比较简单，做起来顺利不少。不过极零图和冲击响应的绘制函数的用法很难找（特别是 $s$ 域实验），这花费了一定的时间。四次实验下来，最大的收获是第一通过实验具体的认识并学会了很多理论上的知识，对整个信号与系统课程的学习有很大的帮助；第二学会了使用 *Matlab* 制图，这方便了数学的学习和以后的论文写作。